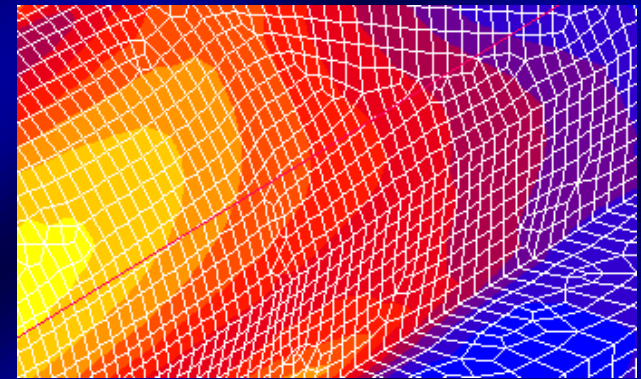


MKP / FEM

MKP: Metoda konečných prvků

FEM: Finite Element Method



Matematická numerická metoda

Simulace deformací, napětí, vlastních frekvencí, ...
na sestaveném virtuálním fyzikálním modelu

Využití výpočetní techniky

Snižování nákladů na testování prototypů výrobků

Virtuální fyzikální model

Definice (Preprocessing):

Objekt: geometrie, vlastnosti hmoty

Podmínky: které na objekt působí, definují stav

Výpočet (Processing): **výpočet neznámých** v úloze

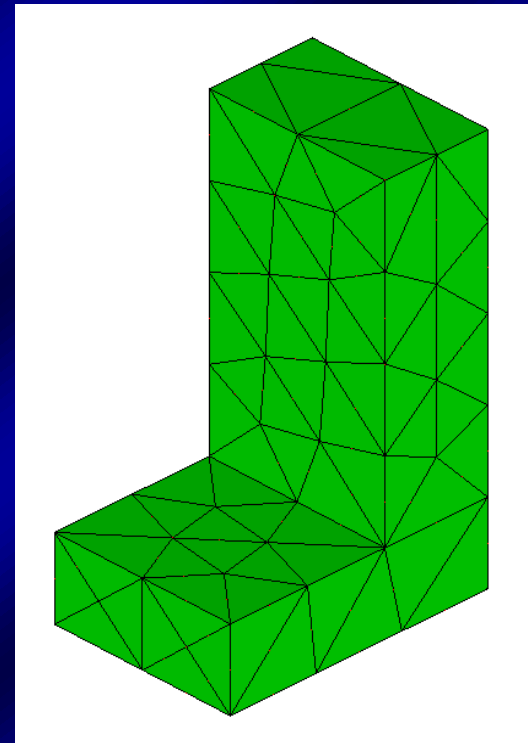
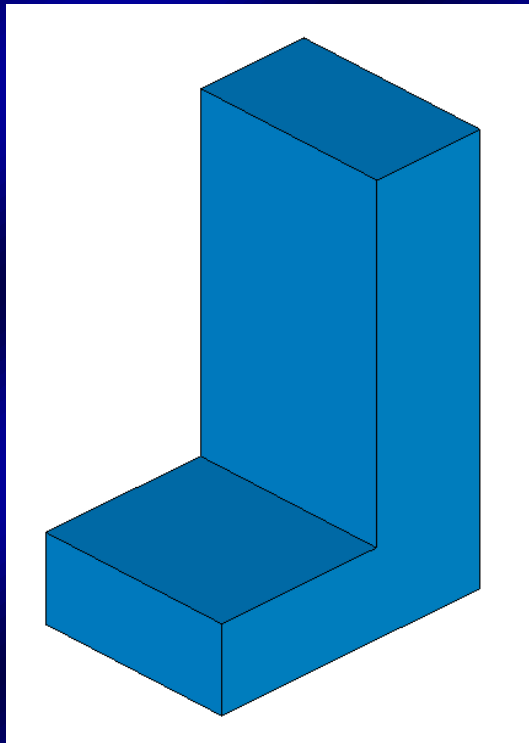
Vyhodnocení (Postprocessing): **relevance výsledků**

Simulace geometrie hmoty

Nahrazení (diskretizace):

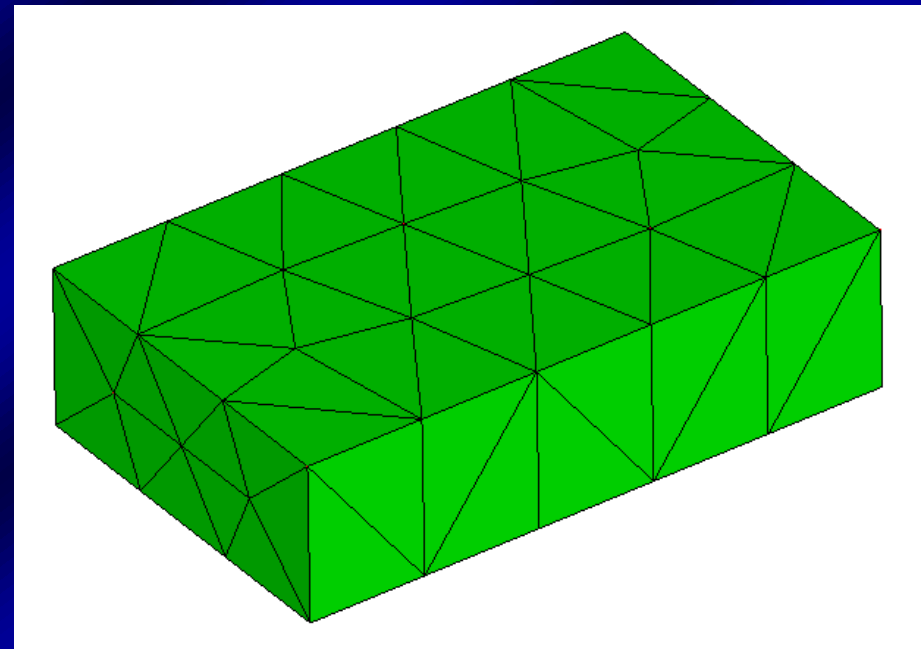
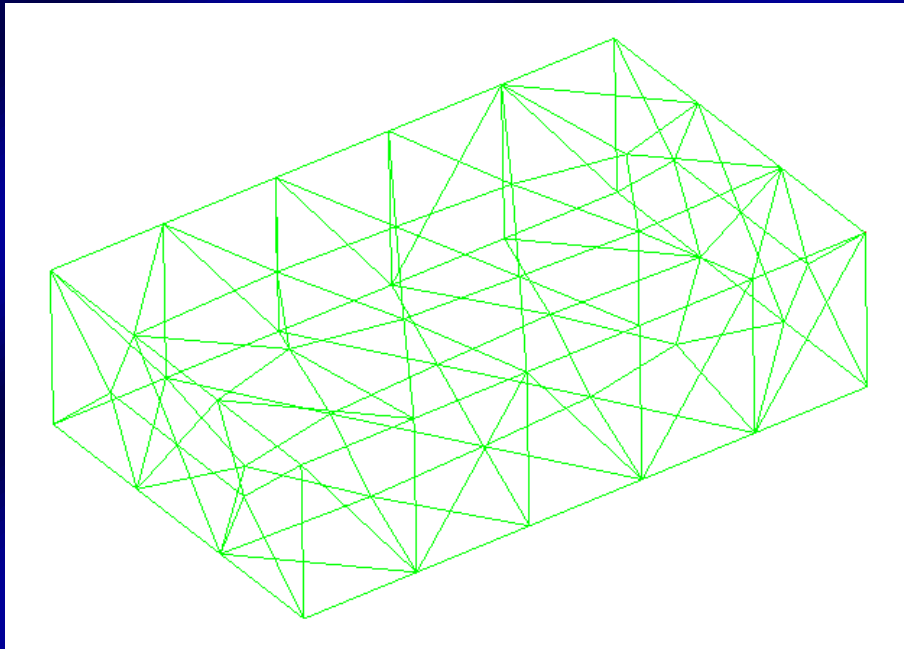
geometrický tvar >>

síť obsahující **konečný**
počet prvků



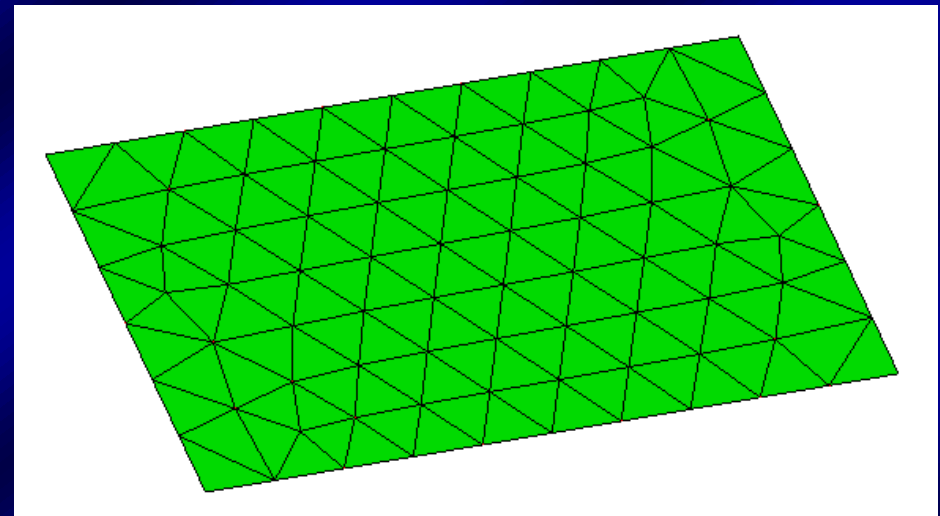
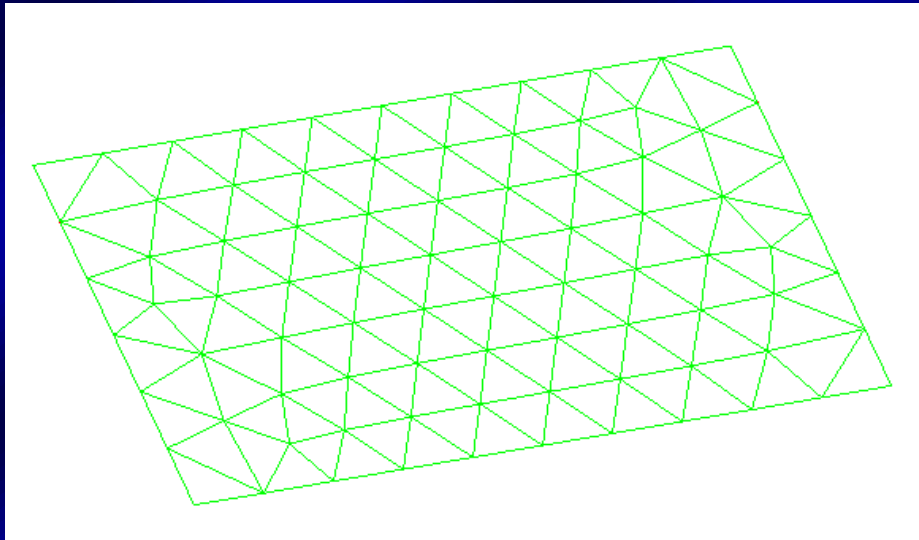
Simulace geometrie hmoty

3D OBJEMOVÁ SÍŤ | SOLID MESH



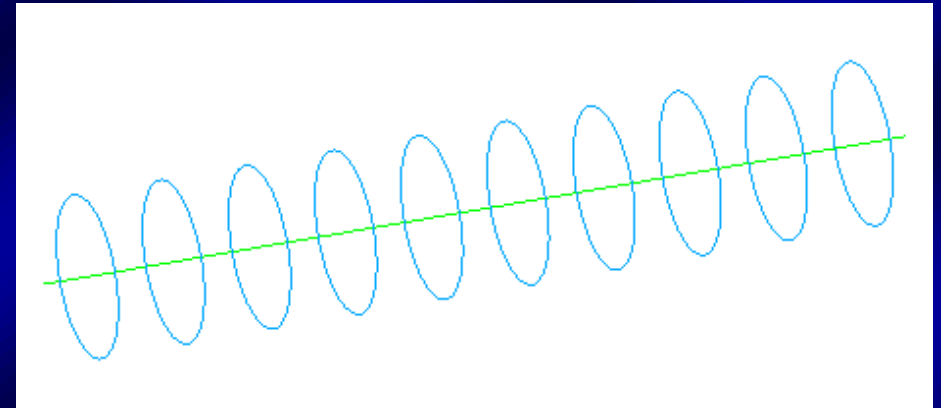
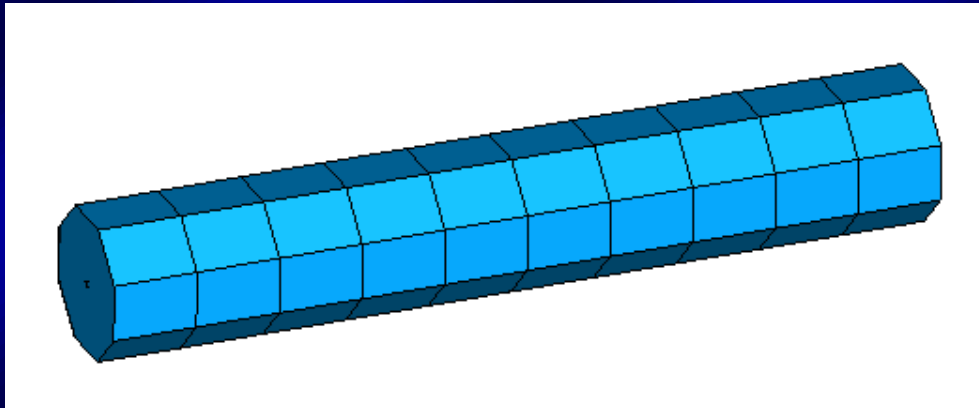
Simulace geometrie hmoty

2D PLOŠNÁ SÍŤ | SHELL MESH



Simulace geometrie hmoty

1D SÍŤ Z PRUTOVÝCH PRVKŮ | BEAM MESH

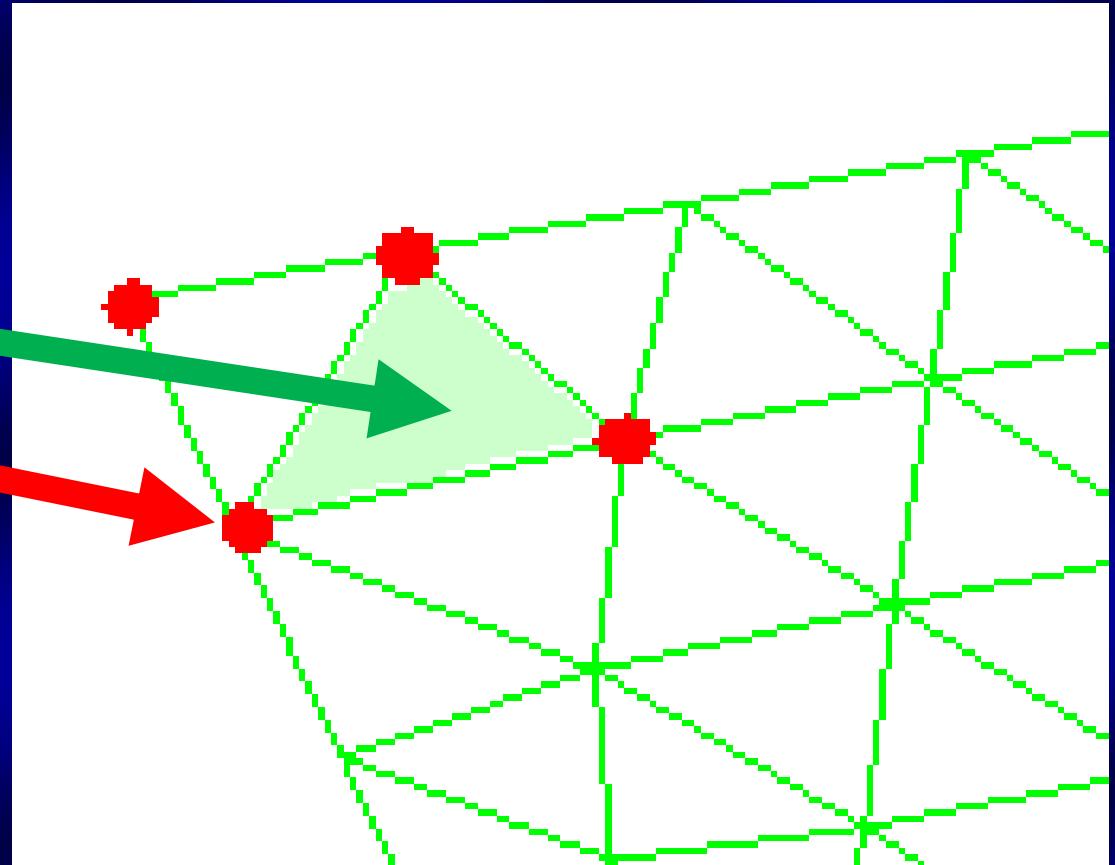


Simulace geometrie hmoty

Objekty sítě

Prvek / Element

Uzel / Node



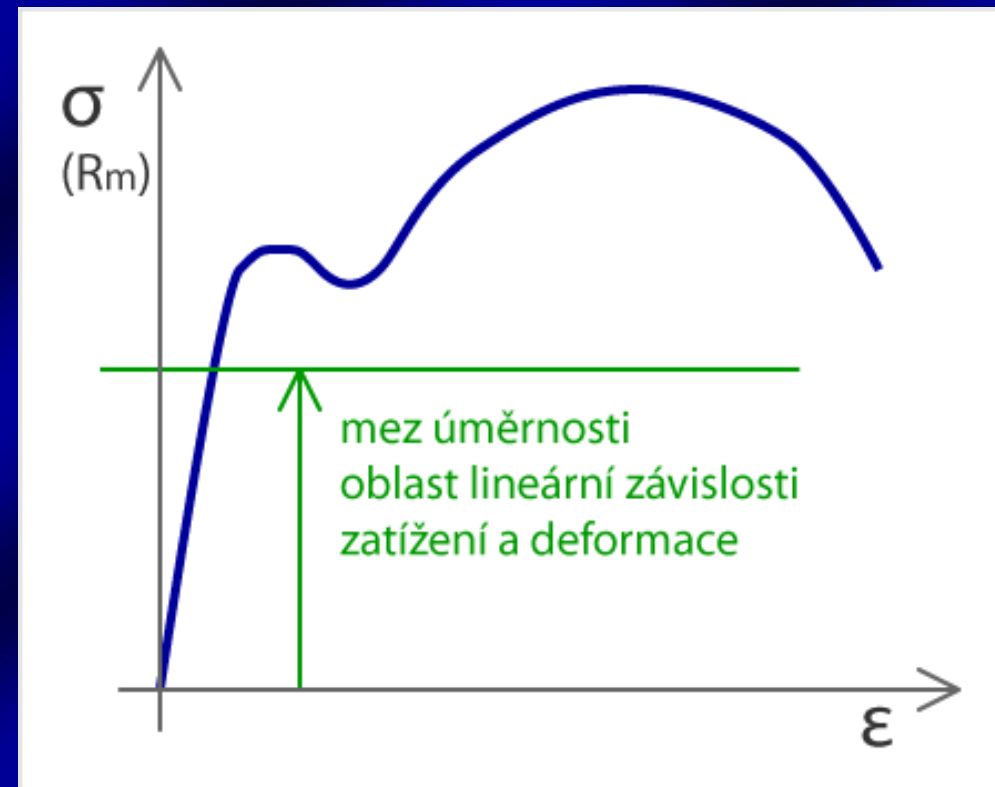
Definice fyzikálních vlastností hmoty

Zjednodušení:

lineární závislost
napětí a deformace
E, modul pružnosti

lineární úloha

homogenní
isotropní



Definice fyzikálních vlastností hmoty

Nejjednodušší materiál:

materiálová linearita, lineární úloha

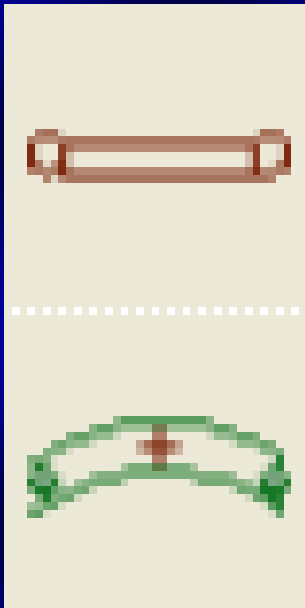
- modul pružnosti
- měrná hmotnost, hustota
- poissonovo číslo
- modul pružnosti ve smyku

isotropní, homogenní

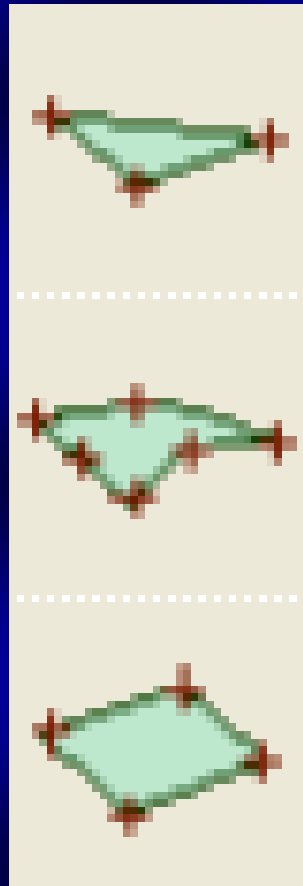
$$G = \frac{E}{2(1 + \mu)}$$

Definice typu prvků sítě v SW systému (I-DEAS)

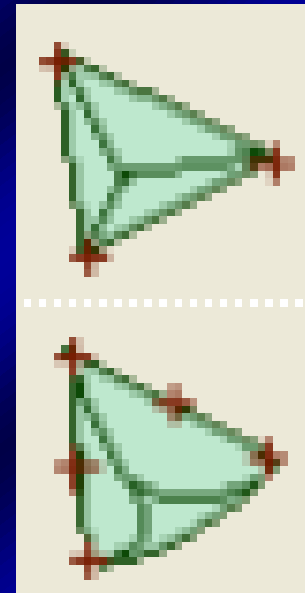
1D, BEAM



2D, SHELL



3D, SOLID



Definice fyzikálních vlastností materiálu v SW systému (I-DEAS)

lineární materiál, homogenní, isotropní

Properties (Required)				
MODULUS OF ELASTICITY	1*	Const	206800	NEWTON/MILLIMETER^2
POISSONS RATIO	1*	Const	0.29	UNITLESS
SHEAR MODULUS	1*	Const	80155	NEWTON/MILLIMETER^2
Properties (Optional)				
MASS DENSITY	1*	Const	7.82e-009	TONNE/MILLIMETER^3
COEFFICIENT OF THERMAL EXP.	1*	Const	1.17e-005	1/CELSIUS
THERMAL EXPANSION REFERENC	1*	Const	21.85	C
Characteristics				
Attributes...				
Classes...				
Components...				

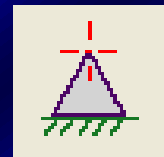
Podmínky definující stav objektu

OKRAJOVÉ PODMÍNKY | Boundary Condition

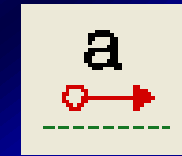
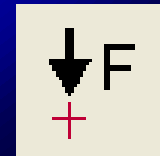
simulace stavu reálného provozu objektu

např.:

Podpora / Restraint



Zatížení / Load Set



Teplota / Temperature



Vazby / Constraint

Základní MKP rovnice lineární statické úlohy

$$[K]\{\Delta_G\} = \{F\}$$

[K] ... matice tuhosti

{Δ} ... vektor deformačních parametrů

{F} ... vektor vnějšího zatížení

Základní MKP rovnice lineární statické úlohy

rozepsaný maticový a vektorový tvar

$$[K]\{\Delta_G\} = \{F\}$$

$$\Delta_1 k_{11} + \Delta_2 k_{12} + \Delta_3 k_{13} + \dots + \Delta_n k_{1n} = f_1$$

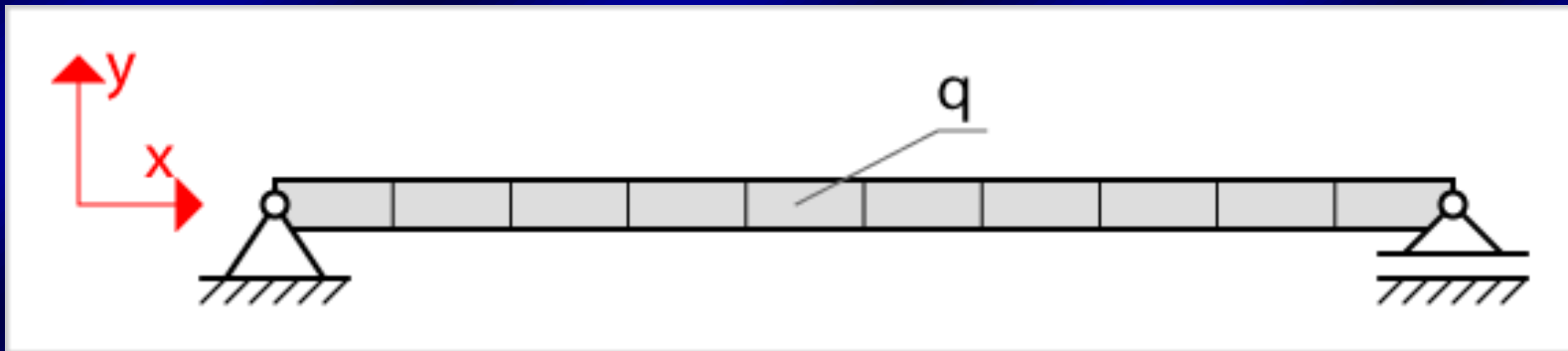
$$\Delta_1 k_{21} + \Delta_2 k_{22} + \Delta_3 k_{23} + \dots + \Delta_n k_{2n} = f_2$$

....

$$\Delta_1 k_{n1} + \Delta_2 k_{n2} + \Delta_3 k_{n3} + \dots + \Delta_n k_{nn} = f_n$$

Základní MKP rovnice lineární statické úlohy

Odvození na příkladu řešení 2D MKP úlohy:
nosník se spojitým zatíženým „ q “



Matematická teorie dovoluje řešit úlohy nD .
 $1D, 2D, \underline{3D}, 4D \dots nD$

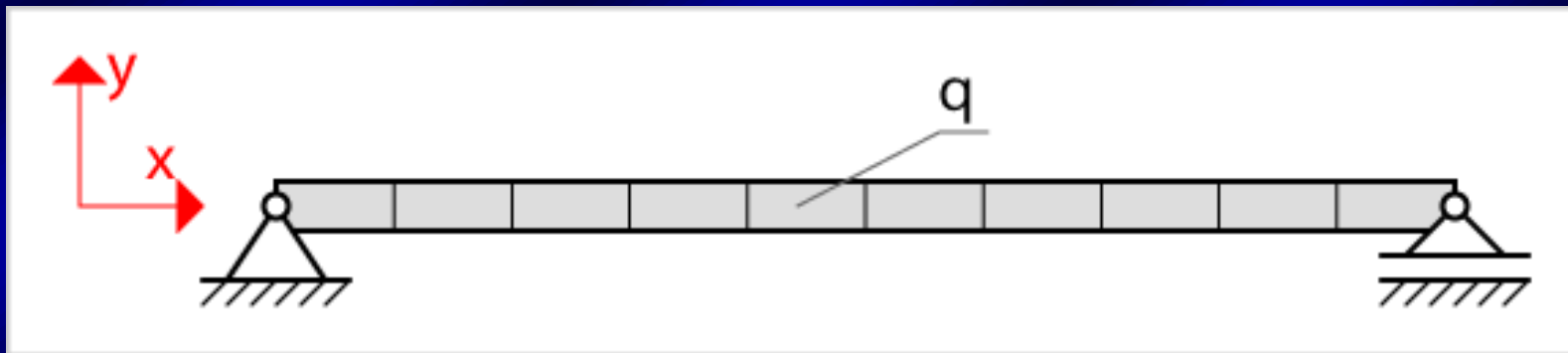
Základní MKP rovnice lineární statické úlohy

Vstupní známé hodnoty:

- geometrický tvar
- materiálové vlastnosti
- vnější zatížení
- některé deformační parametry (definují podpory)

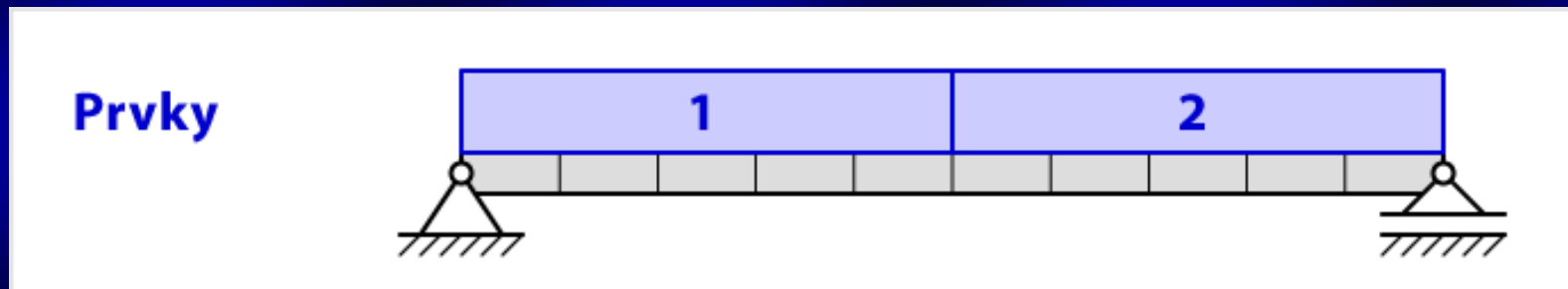
Hledané neznámé:

- průhybová křivka



Odvození MKP rovnice lineární statické úlohy

Rozdělení nosníku se spojitým zatížením na:
2 prvky shodné délky, diskretizace, princip MKP



1 prvek nosníku a jeho deformační parametry

pro $x=0$

$\Delta 1$ posun

$\Delta 2$ otočení

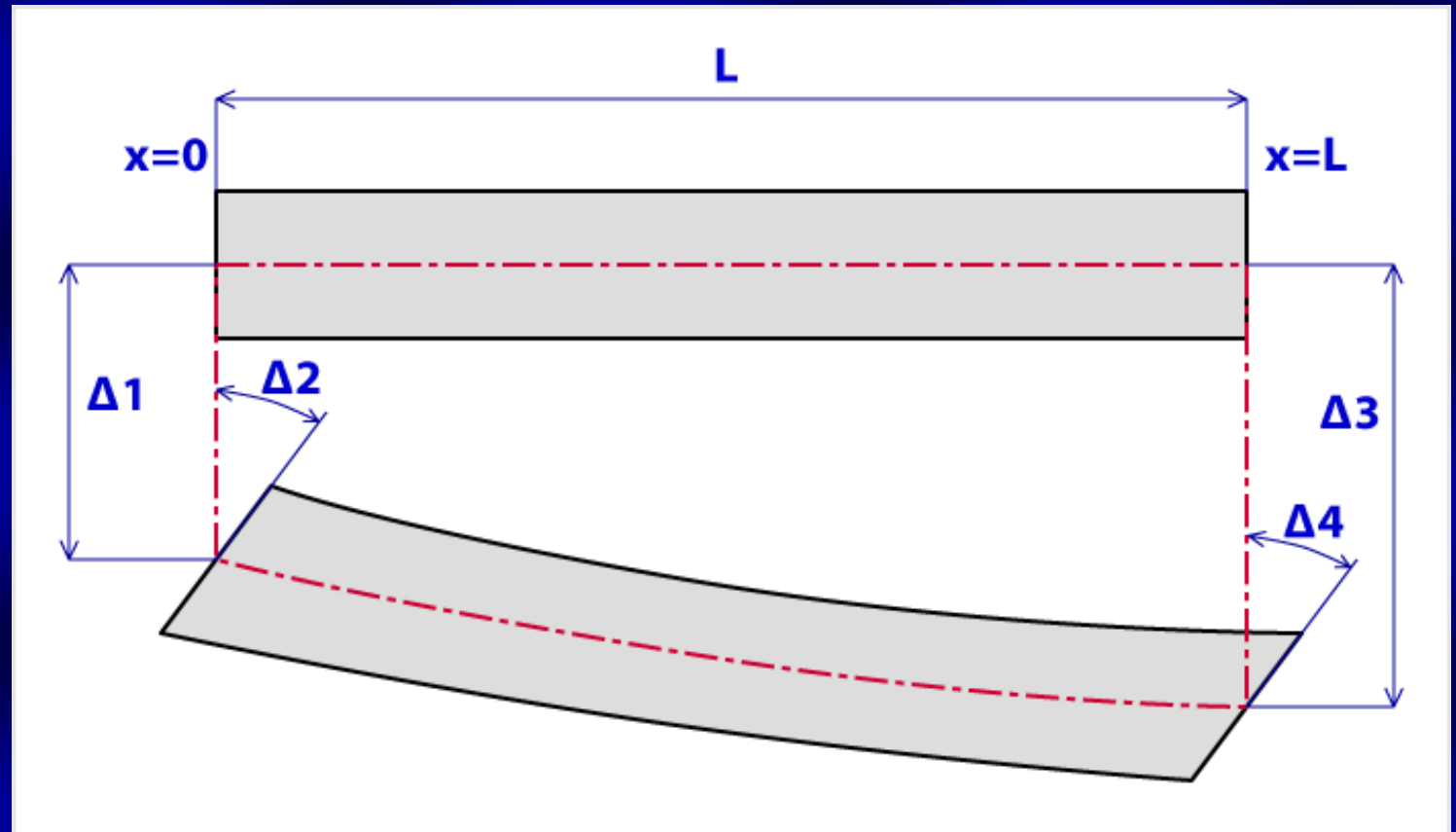
pro $x=L$

$\Delta 3$ posun

$\Delta 4$ otočení

2D úloha:

4 def. par.



Deformační parametry a Okrajové podmínky

DP

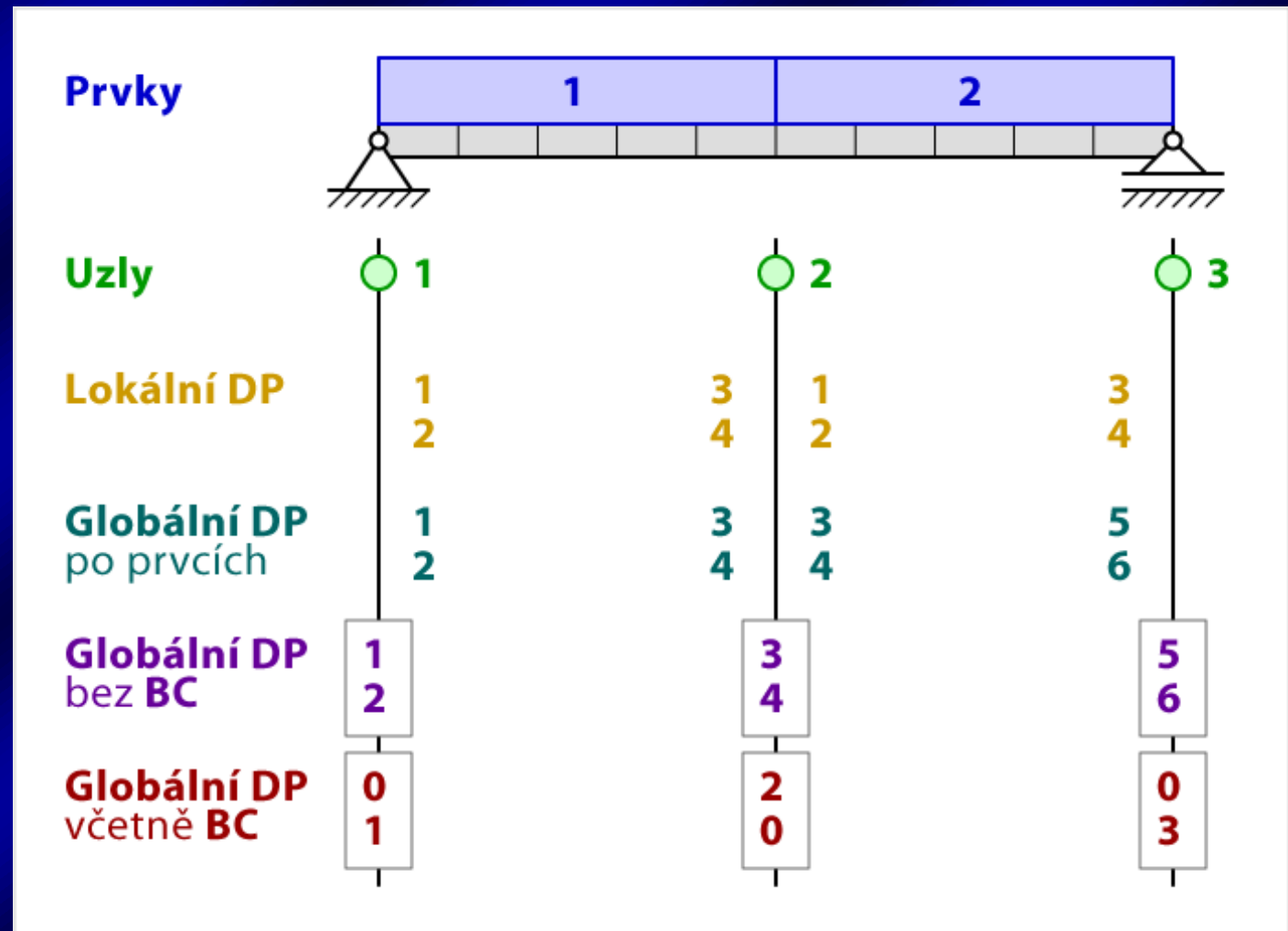
Deformation
Parameters

- posun
- otočení

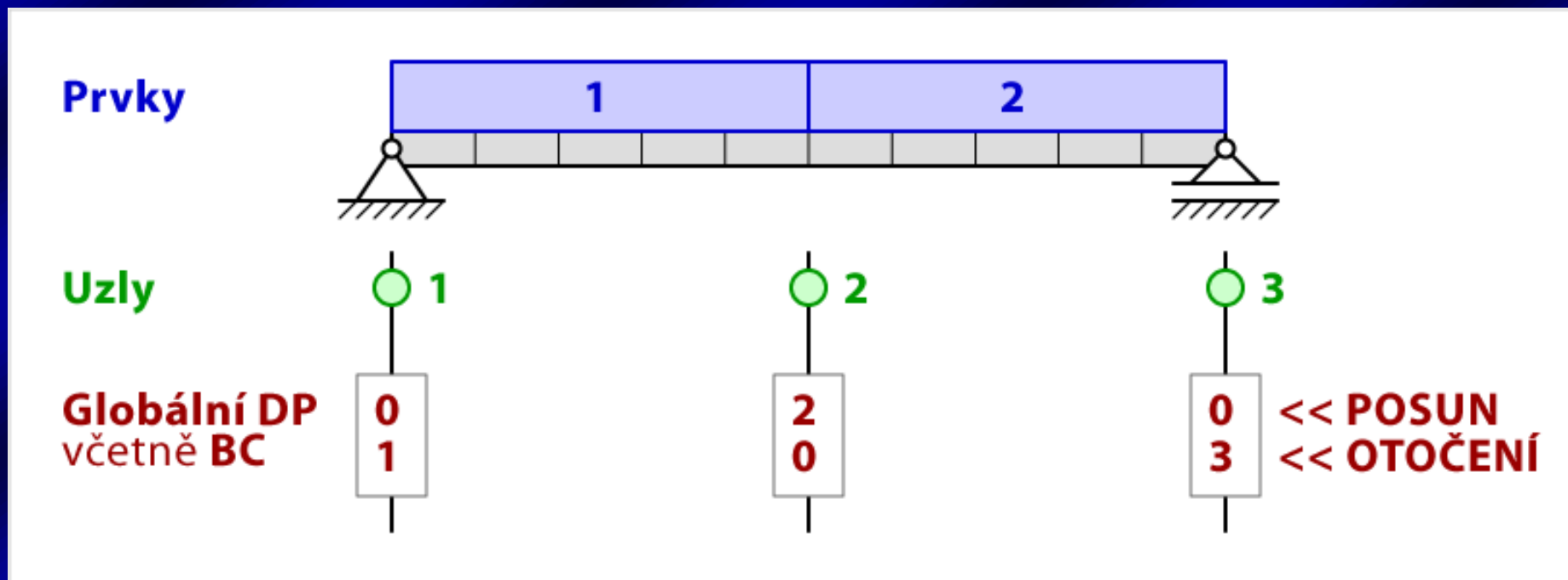
BC

Boundary
Condition

okrajové
podmínky



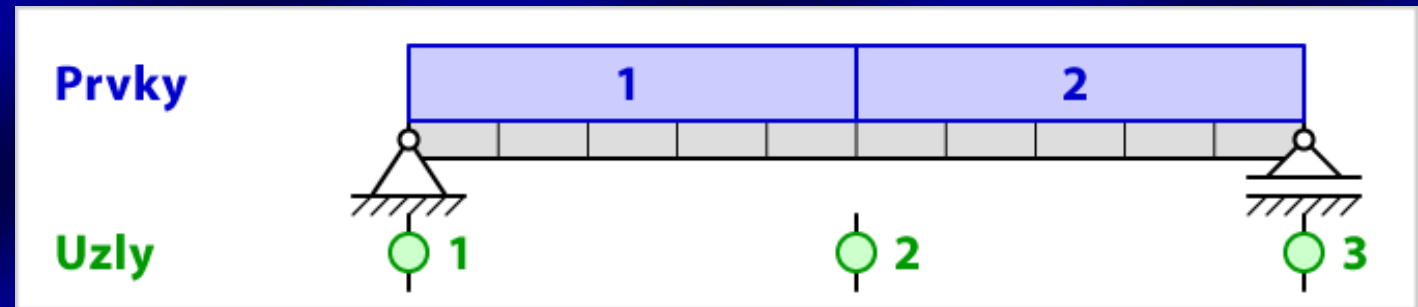
Deformační parametry v uzlech s uvážením známých okrajových podmínek



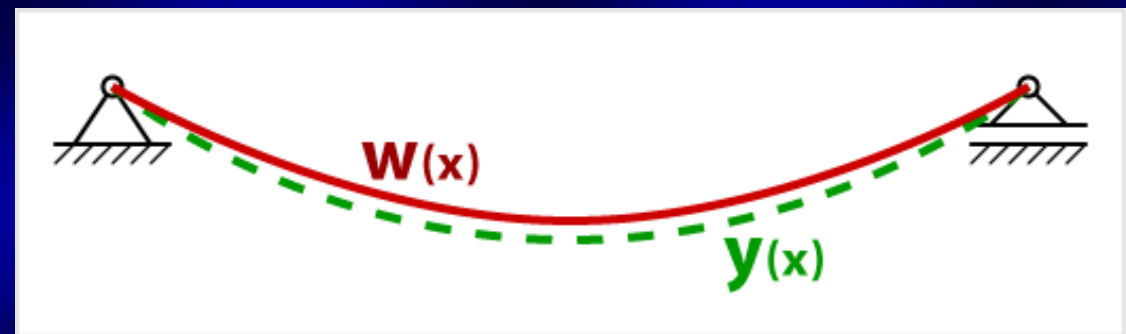
Zjišťování hodnot DP na celém průběhu délky

Nejen v uzlech ale také mezi uzly.

Interpolace



Definice
průhybové křivky

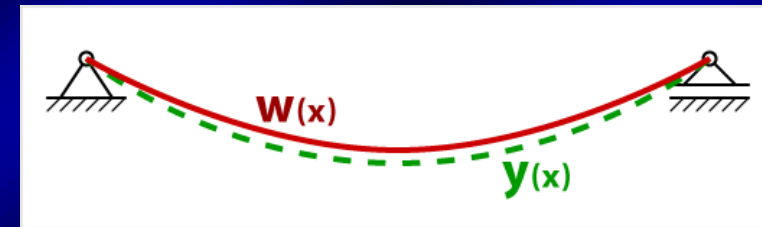
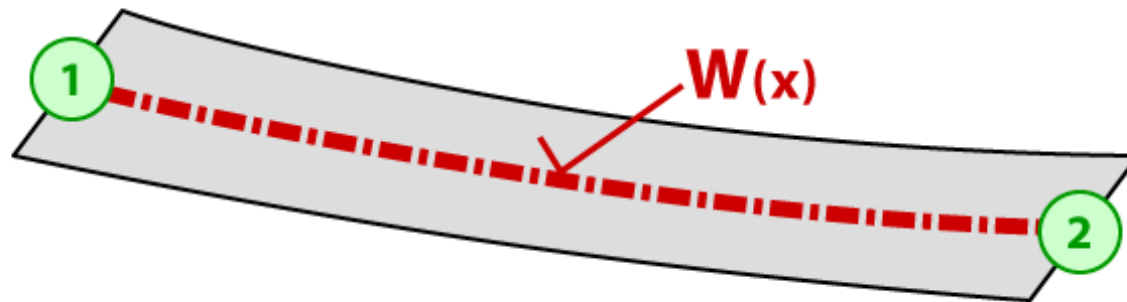


Nahrazení deformační křivky polynomem

polynom n-tého řádu definice průběhu 1 prvku

$$w_{(x)} = a_0 + a_1x + a_2x^2 + a_3x^3 + \dots a_nx^n$$

1 prvek nosníku



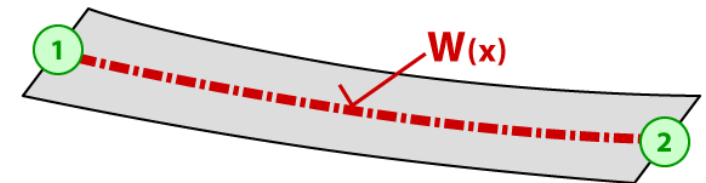
Zápis deformační křivky do vektorového tvaru

a_0, a_1, a_2, a_3 - neznámé konstanty

$$w_{(x)} = a_0 + a_1x + a_2x^2 + a_3x^3$$

$$w_{(x)} = \{a_0 + a_1 + a_2 + a_3\} \left\{ \begin{array}{c} 1 \\ x \\ x^2 \\ x^3 \end{array} \right\} = \{a\}^T \{x\} = \{x\}^T \{a\}$$

1 prvek nosníku



Nahrazení délky prvku 0-L na rozsah 0-1

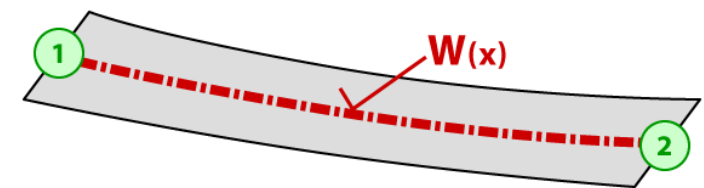
použití proměnné (0-1): $\xi = \frac{x}{L}, \quad d\xi = \frac{dx}{L}$

$$w_{(x)} = a_0 + a_1x + a_2x^2 + a_3x^3$$

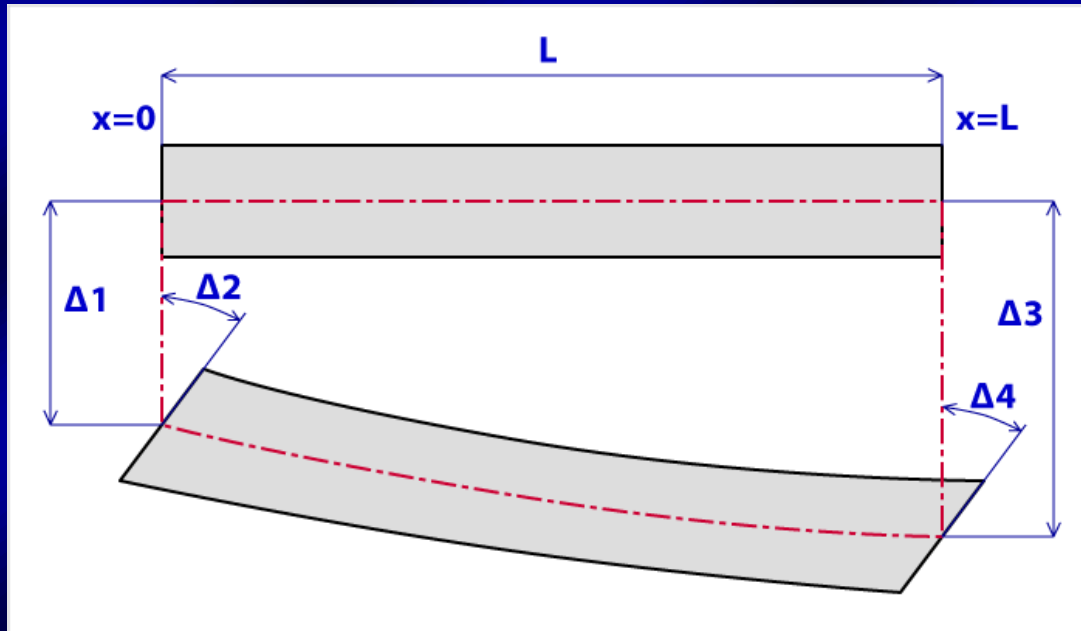
$$w_{(\xi)} = b_0 + b_1\xi + b_2\xi^2 + b_3\xi^3$$

L: 0-1

1 prvek nosníku



Deformační parametry podle funkce $w(x)$



$$\Delta_1 = w_{(\xi=0)} \quad \text{posun}$$

$$\Delta_2 = \frac{dw}{d\xi}_{(\xi=0)} \quad \text{otočení}$$

$$\Delta_3 = w_{(\xi=1)} \quad \text{posun}$$

$$\Delta_4 = \frac{dw}{d\xi}_{(\xi=1)} \quad \text{otočení}$$

1 prvek

Zpětné dosazení deformačních parametrů dle $w_{(x)}$

$$\begin{Bmatrix} \Delta_1 \\ \Delta_2 \\ \Delta_3 \\ \Delta_4 \end{Bmatrix} = \{\Delta\} \text{ dosazení } \gg w_{(\xi)} = \{b_0 + b_1 + b_2 + b_4\} \begin{Bmatrix} 1 \\ \xi \\ \xi^2 \\ \xi^3 \end{Bmatrix} = \{b\}^T \{\xi\} = \{\xi\}^T \{b\}$$

$$\Delta_1 = w_{(\xi=0)}$$

posun

$$w_{(\xi)} = b_0 + b_1\xi + b_2\xi^2 + b_3\xi^3$$

$$\Delta_2 = \frac{dw}{d\xi}_{(\xi=0)}$$

otočení

$$\frac{dw}{d\xi} = b_1 + 2b_2\xi + 3b_4\xi^2$$

$$\Delta_3 = w_{(\xi=1)}$$

posun

$$\Delta_4 = \frac{dw}{d\xi}_{(\xi=1)}$$

otočení

Funkce tvaru, vektorový tvar

$$\begin{Bmatrix} \Delta_1 \\ \Delta_2 \\ \Delta_3 \\ \Delta_4 \end{Bmatrix} = \{\Delta\} = \begin{bmatrix} 1 & 0 & 0 & 0 \\ 0 & \frac{1}{L} & 0 & 0 \\ 1 & \frac{1}{L} & 1 & 1 \\ 0 & \frac{1}{L} & \frac{2}{L} & \frac{3}{L} \end{bmatrix} \{b\} = [S]\{b\}$$

vektor neznámých $\{b\}$

$$w_{(\xi)} = \{\xi\}^T [S]^{-1} \{\Delta\} = \{\Delta\}^T \cdot \{N\} = \{N\}^T \cdot \{\Delta\}$$

$\{N\}$... **funkce tvaru** (shape function)

$w_{(\xi)}$... průhybová křivka

$\{\Delta\}$... vektor deformačních parametrů DP

Funkce tvaru

- jednoznačně dána pro daný aproximační polynom
- závislá pouze na délkové souřadnici

Deformace

se určí pomocí:

- funkce tvaru
- známých hodnot deformačních parametrů

$$w_{(\xi)} = \{\Delta\}^T \cdot \{N\} = \{N\}^T \cdot \{\Delta\}$$

$$\{N\}^T = \{\xi\}^T \cdot [S]^{-1} = \{1 - 3\xi^2 + 2\xi^3, L(\xi - 2\xi^2 + \xi^3), 3\xi^2 - 2\xi^3, L(-\xi^2 + \xi^3)\}$$

Vstupy pro odvození MKP rovnice, lineární statika

Funkce tvaru $w_{(\xi)} = \{\Delta\}^T \cdot \{N\} = \{N\}^T \cdot \{\Delta\}$

**Princip varianty
minima celkové
energie při deformaci**



Potencionální energie
vnitřních sil



Potencionální energie
vnějších sil

Potencionální energie vnitřních sil, Π_d

matice tuhosti [k], pro jediný prvek

pružnost pevnost: $\Pi_d = \frac{\sigma}{2 \cdot E} = \frac{1}{2} \int_0^L \frac{M_o^2(x)}{EJ} dx$, pro malé průhyby: $y''(x) = -\frac{M_o(x)}{EJ}$

$$\Pi_d = \frac{1}{2} EJ \int_0^L (y''(x))^2 dx,$$

← $y''(x) \approx w''(\xi) \dots$ dosazení funkce průhybové křivky

← $w(\xi) = \{\Delta\}^T \cdot \{N\} = \{N\}^T \cdot \{\Delta\} \dots$ dosazení f. tvaru

[k] matice tuhosti prvku

$$\Pi_d = \frac{1}{2} \{\Delta\}^T [k] \{\Delta\}$$

Matice tuhosti $[k]$ pro jediný prvek

z rovnice potenciální energie vnitřních sil, Π_d

$[k]$ matice tuhosti prvku
závislá na: $EJ, L, \{N\}$

EJ ... ohybová tuhost

$$\Pi_d = \frac{1}{2} \{\Delta\}^T [k] \{\Delta\}$$

$$[k] = \frac{EJ}{L^3} \begin{bmatrix} 12, & 6L, & -12, & 6L \\ & 4L^2 & -6L, & 2L^2 \\ & & 12, & -6L \\ \text{sym.} & & & 4L^2 \end{bmatrix}.$$

Potencionální energie vnějších sil, Π_z

Vektor zatížení $\{f\}$

$$\Pi_z = -\int_0^L w_{(x)} q_{(x)} dx = -\int_0^1 w_{(\xi)} q_{(\xi)} L d\xi = -L \int_0^1 q_{(\xi)} \{N\}^T d\xi \cdot \{\Delta\}$$

použití proměnné (0-1): $d\xi = \frac{dx}{L}$

$w_{(\xi)} = \{N\}^T \cdot \{\Delta\}$... funkce tvaru

vektor spojitého
zatížení prvku u ohybu:

$$\{f\}^T = -L \int_0^1 q_{(\xi)} \{N\}^T d\xi$$

$$\Pi_z = -\{f\}^T \{\Delta\}$$

Celková potencionální energie

pro 1 prvek a pro soustavu prvků

1 prvek:
$$\Pi_p = \Pi_d + \Pi_z = \frac{1}{2} \{\Delta\}^T [k] \{\Delta\} - \{f\}^T \{\Delta\}$$

soustava prvků:
$$\Pi = \sum_{i=1}^n \Pi_{pi} = \frac{1}{2} \sum_{i=1}^n \{\Delta_i\}^T [k_i] \{\Delta_i\} - \sum_{i=1}^n \{f_i\}^T \{\Delta_i\}$$

[K]

matice

tuhosti

soustavy

{F}

celkový

zatěžovací

vektor

$$\Pi = \frac{1}{2} \{\Delta_G\}^T [K] \{\Delta_G\} - \{F\}^T \{\Delta_G\}$$

Varianta deformace pro minimální celkovou potenciální energii

Podmínka nulovosti: variace funkcionálu energie.

$$\Pi = \frac{1}{2} \{\Delta_G\}^T [K] \{\Delta_G\} - \{F\}^T \{\Delta_G\}$$

$$\frac{\delta \Pi}{\delta \{\Delta_G\}} = 0 = [K] \{\Delta_G\} - \{F\}$$

Výsledná MKP rovnice >>

$$[K] \{\Delta_G\} = \{F\}$$

Základní MKP rovnice lineární statické úlohy

System lineárních rovnic
pro neznámé DP $\{\Delta_G\}$

$$[K]\{\Delta_G\} = \{F\}$$

$[K]$... matice tuhosti

$\{\Delta\}$... vektor deformačních parametrů

$\{F\}$... vektor vnějšího zatížení

Typ úlohy:

lineární: z hlediska materiálu (E)

statická: zatížení a deformace neměnná v čase

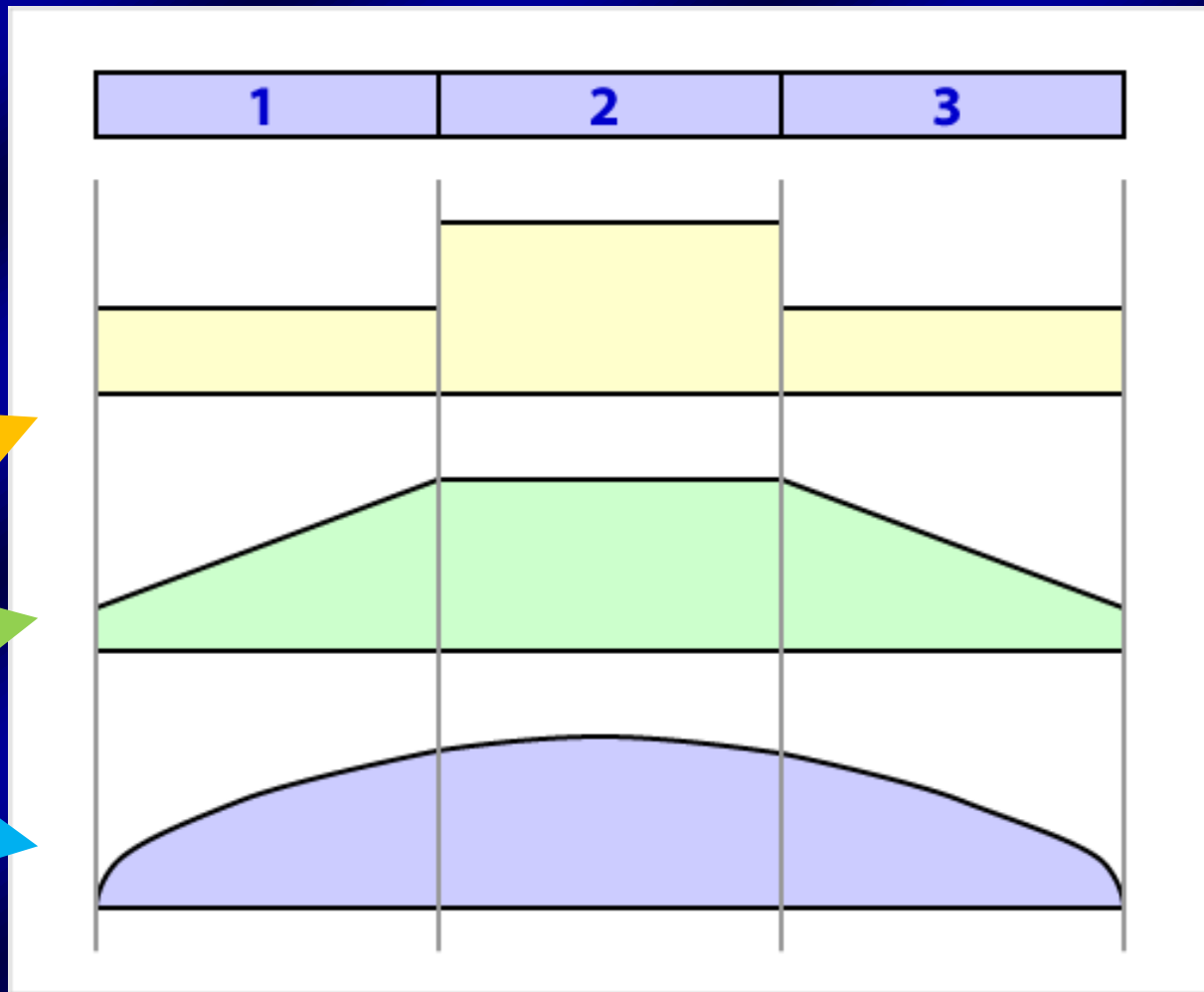
Přesnost metody MKP, vliv faktoru P

P: stupeň
polynomu
určujícího
deformační
křivku

a_0

$a_0 + a_1X$

$a_0 + a_1X + a_2X^2$



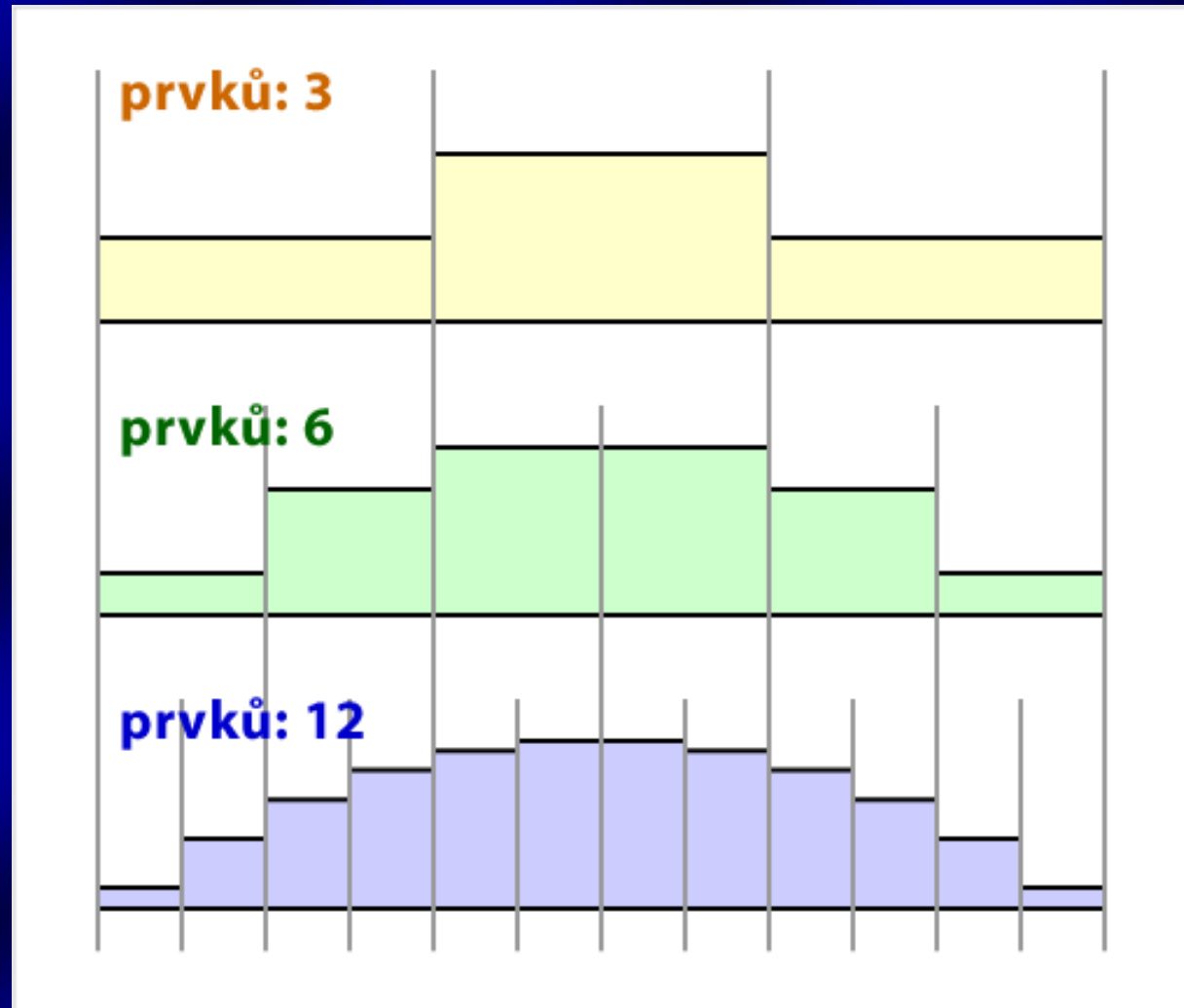
Přesnost metody MKP, vliv faktoru H

počet prvků

H: velikost
prvků

Pro polynom:

$y=a_0$



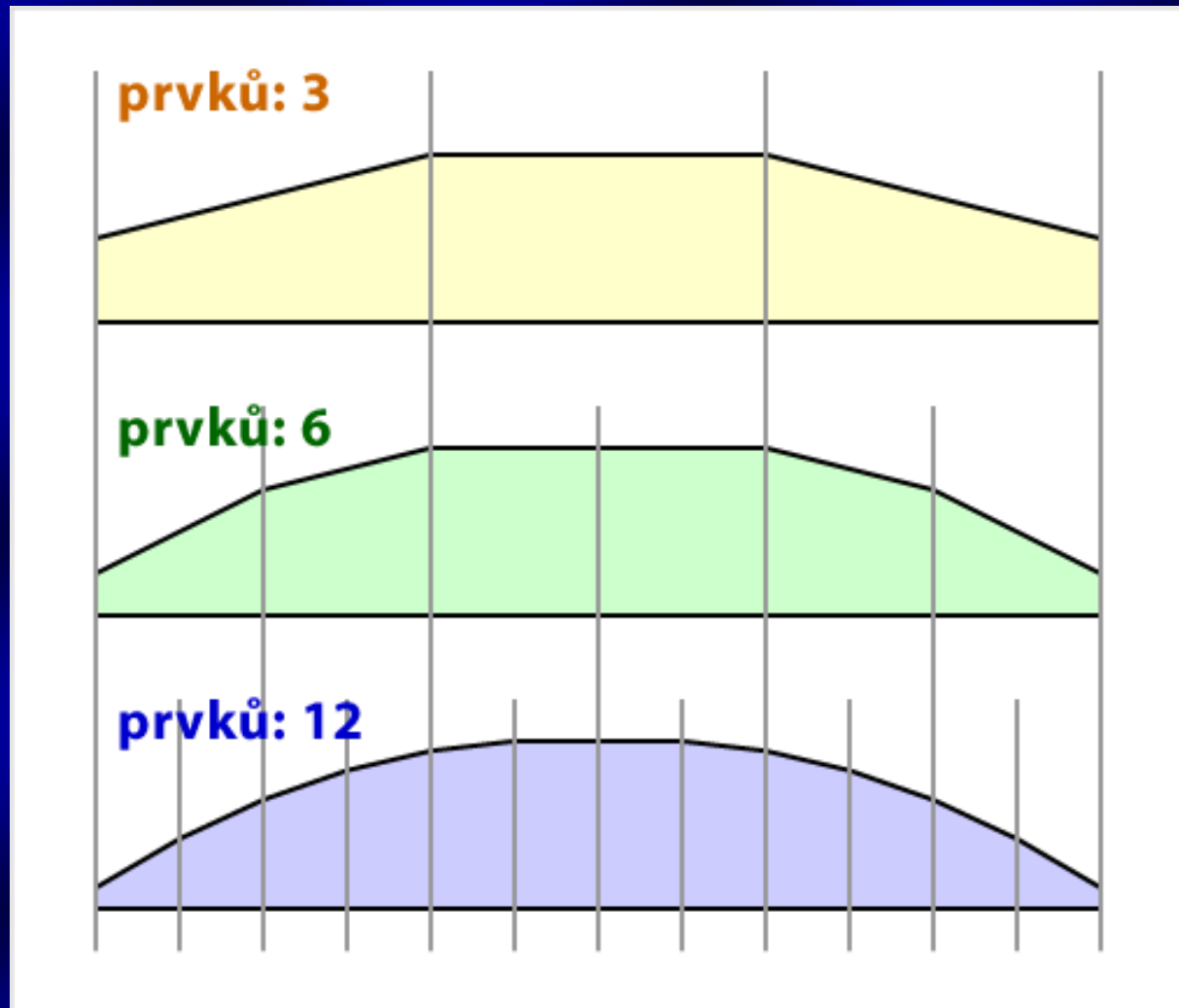
Přesnost metody MKP, vliv faktoru H

počet prvků

H: velikost
prvků

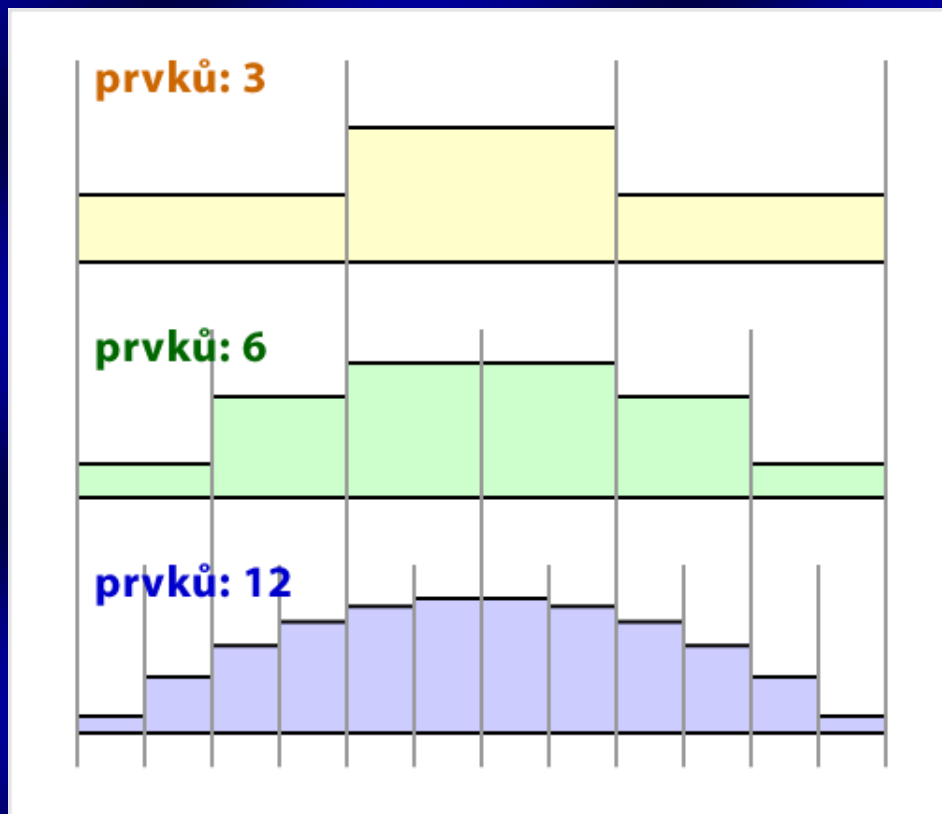
Pro polynom:

$$y = a_0 + a_1x$$

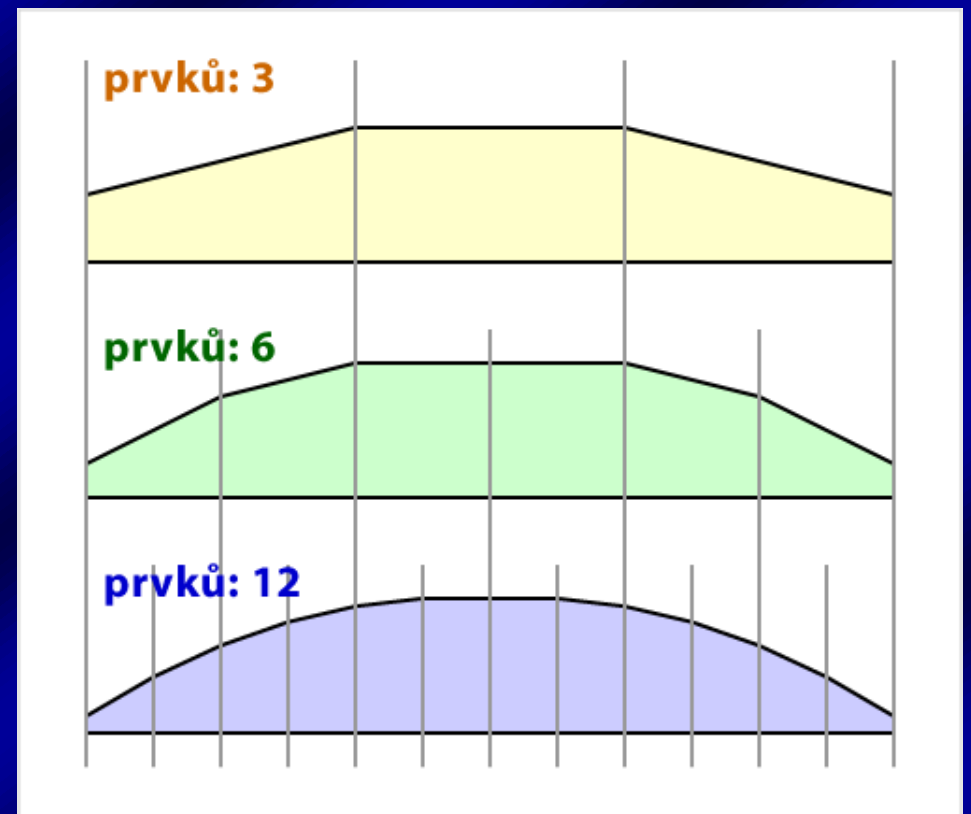


Přesnost metody MKP, srovnání vlivů faktorů HP

$$y=a_0$$



$$y=a_0+a_1X$$



Typy MKP analýz

Lineární analýzy

Nelineární analýzy (videa)

- **nelinearity**
 - * materiálu
 - * geometrie
 - ztráta stability
 - velká přetvoření
 - * okrajové podmínky
 - kontakt
 - tření
- pružné-plastické chování

Příklady využití MKP analýz

dynamika

- vlastní frekvence s vlastními tvary kmitu
- odezvy
- harmonické odezvy
- analýzy náhodných vibrací a zemětřesení

proudění a přestup tepla

- vnitřní a vnější proudění nestlačitelného média
- přestup tepla vedením a prouděním
- ustálený stav

MKP rovnice pro dynamiku bez vlivu tlumení

$$[M] \{\ddot{\Delta}\} + [K] \{\Delta\} = \{F_{(t)}\}$$

- [M]** ... matice hmotnosti
- { $\ddot{\Delta}$ }** ... vektor zrychlení deformačních parametrů
- [K]** ... matice tuhosti
- { Δ }** ... vektor deformačních parametrů
- {F(t)}** ... zatížení proměnlivé v čase

MKP rovnice pro modální analýzu

vlastní frekvence a související vlastní tvary

$$([K] - \Omega^2 [M]) \{\Delta_0\} = \{0\}$$

[K] ... matice tuhosti

Ω ... kruhová frekvence vlastních netlum. kmitů

[M] ... matice hmotnosti

$\{\Delta_0\}$... vlastní tvar netlumeného kmitání

Konec

Praktické ukázky:

- zatížení jednoduchého vetknutého nosníku
- videa z řešených úloh